



# БИООРГАНИЧЕСКАЯ ХИМИЯ

том 7 \* № 4 \* 1981

УДК 547.962:541.63

## ТЕОРЕТИЧЕСКИЙ КОНФОРМАЦИОННЫЙ АНАЛИЗ БРАДИКИНИНПОТЕНЦИРУЮЩИХ ПЕПТИДОВ

### VII \*. СИНТЕТИЧЕСКИЕ АНАЛОГИ

*Севастьянова Н. Н., Попов Е. М.*

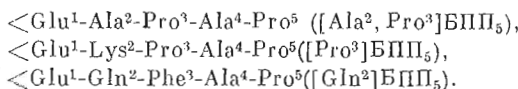
Институт биоорганической химии им. М. М. Шемякина  
Академии наук СССР, Москва

На основе полуэмпирического метода атом-атомных потенциалов исследовано пространственное строение молекул следующих синтетических аналогов брадикининпотенцирующего пентапептида (БПП<sub>5</sub>): <Glu<sup>1</sup>-Ala-Pro-Ala-Pro>, <Glu-Lys-Pro-Ala-Pro> и <Glu-Gln-Phe-Ala-Pro>. путем сопоставления конформационных возможностей природного соединения и его аналогов с экспериментальными данными об их биологической активности показано, что из возможных низкоэнергетических конформаций БПП<sub>5</sub>, актуальными для ингибиции анатиотензинпревращающего фермента являются структуры с наиболее компактно упакованной основной цепью.

Ранее [1—4] нами были исследованы конформационные возможности природного брадикининпотенцирующего пептида <Glu<sup>1</sup>-Lys<sup>2</sup>-Trp<sup>3</sup>-Ala<sup>4</sup>-Pro<sup>5</sup>> (БПП<sub>5</sub>) и его синтетического аналога <Glu<sup>1</sup>-Lys<sup>2</sup>-Phe<sup>3</sup>-Pro<sup>4</sup>-Pro<sup>5</sup>> ([Pro<sup>4</sup>]БПП<sub>5</sub>). Первый имеет самую высокую ингибицию активность ( $I_{50}$  0,05 мкг/мл) в отношении пептидилдипептидазы — фермента, катализирующего обращение ангиотензина I в повышающий кровяное давление ангиотензин II [5—7]. Второй пептид отличается от БПП<sub>5</sub> аминокислотными остатками в 3-м и 4-м положениях. Если замена -Trp<sup>3</sup>- на аналогичный по конформационным свойствам остаток Phe<sup>3</sup> [8, 9] практически не оказывается на ингибиции активности соединения, то замена -Ala<sup>4</sup>- на -Pro<sup>4</sup>- приводит к существенному изменению пространственного строения молекулы [Pro<sup>4</sup>]БПП<sub>5</sub> [3] и резкому снижению активности ( $I_{50}$  1,1 мкг/мл).

Различие в пространственной организации БПП<sub>5</sub> и [Pro<sup>4</sup>]БПП<sub>5</sub> касается не только геометрии предпочтительных конформаций. Оно проявляется в динамических свойствах молекул, в частности в характере влияния внешних условий на положение конформационного равновесия [1].

Продолжая поиск зависимости между структурой и функцией коротких брадикининпотенцирующих пептидов, мы рассмотрели пространственное строение еще трех синтетических производных БПП<sub>5</sub>:



Методика расчета, обозначения, потенциальные функции, их параметризация, длины связей и валентные углы даны в работах [2, 10—15].

\* Сообщение VI см. [1].

Таблица 1

Относительная энергия (ккал/моль) и геометрические параметры (град) низкоэнергетических конформаций молекулы  $\text{<} \text{Glu}^1\text{-Ala}^2\text{-Pro}^3\text{-Ala}^4\text{-Pro}^5 \text{>}$

Шейп	Форма основной цепи	<Glu <sup>1</sup>		Ala <sup>2</sup>		Pro <sup>3</sup>		Ala <sup>4</sup>		Pro <sup>5</sup>		$U_{\text{общ}}$	
		<Glu <sup>1</sup>		Ala <sup>2</sup>		Pro <sup>3</sup>		Ala <sup>4</sup>		Pro <sup>5</sup>			
		$\psi$	$\varphi$	$\psi$	$\chi$	$\varphi$	$\psi$	$\varphi$	$\psi$	$\chi$	$\varphi$	$\psi$	
<i>fef</i>	$R^1\text{-}B^2\text{-}R^3\text{-}B^4\text{-}R^5$	-54,0	-134,4	111,5	59,0	-60,0	-45,4	-148,6	80,9	57,1	-60,0	-47,0	0
	$R\text{-}B\text{-}R\text{-}B\text{-}R$	-55,0	-80,4	148,8	59,9	-60,0	124,5	52,7	70,5	58,0	-60,0	-46,8	
<i>eef</i>	$R\text{-}L\text{-}R\text{-}B\text{-}R$	-46,3	51,8	69,7	60,6	-60,0	-47,8	-92,6	147,3	59,5	-60,0	-46,8	2,7
	$R\text{-}L\text{-}B\text{-}L\text{-}R$	-48,8	52,4	70,6	60,3	-60,0	128,5	52,1	69,1	60,8	-60,0	-47,5	
<i>fee</i>	$R\text{-}B\text{-}B\text{-}B\text{-}R$	-53,1	-79,1	147,6	59,7	-60,0	119,4	-93,6	147,0	59,6	-60,0	-46,2	3,3
	$R\text{-}B\text{-}R\text{-}L\text{-}R$	-52,8	-85,2	146,3	60,0	-60,0	-40,3	-40,3	53,1	68,9	59,2	-60,0	
<i>eee</i>	$R\text{-}L\text{-}B\text{-}B\text{-}R$	-48,6	52,6	69,9	60,2	-60,0	124,3	-76,8	146,2	56,2	-60,0	-44,0	4,4
	$R\text{-}J\text{-}R\text{-}L\text{-}R$	-48,4	52,5	69,9	60,3	-60,0	-40,2	-40,2	52,1	67,8	59,2	-60,0	

Таблица 2

Относительная энергия (ккал/моль) и геометрические параметры (град) низкоэнергетических конформаций молекулы  $\text{<} \text{Glu}^1\text{-Lys}^2\text{-Pro}^3\text{-Ala}^4\text{-Pro}^5 \text{>}$

Шейп	Форма основной цепи	<Glu <sup>1</sup>		Lys <sup>2</sup>		Pro <sup>3</sup>		Ala <sup>4</sup>		Pro <sup>5</sup>		$\sigma_{\text{общ}}$	
		<Glu <sup>1</sup>		Lys <sup>2</sup>		Pro <sup>3</sup>		Ala <sup>4</sup>		Pro <sup>5</sup>			
		$\psi$	$\varphi$	$\psi$	$\chi^1$	$\varphi$	$\psi$	$\chi^2$	$\varphi$	$\psi$	$\chi$	$\varphi$	
<i>fef</i>	$R^1\text{-}B^2\text{-}R^3\text{-}B^4\text{-}R^5$	-54,5	-132,4	69,9	-168,2	72,5	67,6	67,7	175,1	-58,3	-75,4	148,0	0
	$R\text{-}B_{2122}\text{-}R\text{-}B\text{-}R$	-54,8	-138,9	71,4	-174,9	71,8	68,3	176,1	175,2	-50,8	-117,4	150,4	
<i>eef</i>	$R\text{-}B_{2211}\text{-}B\text{-}L\text{-}R$	-52,7	-144,9	130,6	-168,9	-174,0	72,4	57,1	158,2	131,4	54,8	71,4	2,9
	$R\text{-}B_{1233}\text{-}B\text{-}L\text{-}R$	-52,8	-147,6	153,4	64,8	-179,1	-64,7	-53,7	-162,9	126,9	55,9	71,6	
<i>fee</i>	$R\text{-}B_{1211}\text{-}B\text{-}L\text{-}R$	-52,8	-146,4	149,2	-176,2	65,5	67,4	69,1	175,1	130,0	55,3	68,7	3,9

П р и м е ч а н и е. Двугранный угол  $\phi$  остатка Pro во всех конформациях равен  $\sim -60,0$  град.

Отсчет углов вращения  $\varphi$ ,  $\psi$  и  $\chi$  соответствует номенклатуре IUPAC — IUB [16]. Для оценки взаимодействий последовательности разделены на элементы основной цепи  $b_n$  ( $C_nH—CONH$ ) и боковые цепи  $s_n$ .

<*Glu<sup>1</sup>-Ala<sup>2</sup>-Pro<sup>3</sup>-Ala<sup>4</sup>-Pro<sup>5</sup>*. Исходные приближения для минимизации энергии молекулы [ $Ala^2$ ,  $Pro^3$ ]БПП<sub>5</sub> сформированы из оптимальных конформаций фрагментов Ala-Pro, Pro-Ala и Ala-Pro-Ala, полученных в работах [14, 17]. В табл. 1 приведены геометрические параметры предпочтительных конформаций [ $Ala^2$ ,  $Pro^3$ ]БПП<sub>5</sub>. Энергия структурных вариантов других возможных 12 шейпов превышает 7,5 ккал/моль, что связано с неблагоприятными контактами  $b_1—s_3$ ,  $s_2—s_3$ ,  $b_3—b_4$  и  $b_4—s_5$ ,  $s_4—s_5$ , которые возникают при *R*-состояниях остатков  $Ala^2$  и  $Ala^4$ , стоящих перед пролинами. Самые низкоэнергетические конформации молекул [ $Ala^2$ ,  $Pro^3$ ]БПП<sub>5</sub> и БПП, принадлежат одному и тому же шейпу (*feje*), но имеют различные формы основной цепи. Предпочтительность у БПП<sub>5</sub> структурных вариантов типа *R-B-B-L-R* объясняется тем, что дисперсионные взаимодействия алифатической части боковой цепи -Lys<sup>2</sup>- с участком -Ala<sup>4</sup>-Pro<sup>5</sup>- более эффективны, если последний находится в форме *L-R*, а не в форме *B-R* (табл. 8 [2]). С заменой -Lys<sup>2</sup>- на -Ala<sup>2</sup>- относительная энергия форм *R-B-R-B-R* и *R-B-B-L-R* определяется в основном монопептидным вкладом, в отношении которого преимуществом обладает форма с *B*-состоянием остатка  $Ala^4$ .

<*Glu<sup>1</sup>-Lys<sup>2</sup>-Pro<sup>3</sup>-Ala<sup>4</sup>-Pro<sup>5</sup>*. Конформационный анализ этой молекулы проведен двумя независимыми способами, различающимися схемой расчета и выбором начальных приближений. Согласно первому, они формировались из низкоэнергетических конформаций фрагментов <*Glu<sup>1</sup>-Lys<sup>2</sup>* (табл. 2 [2]) и  $Pro^3$ -Ala<sup>4</sup>-Pro<sup>5</sup> [17]. Во втором случае в качестве исходных форм основной цепи [ $Pro^3$ ]БПП<sub>5</sub> служили низкоэнергетические конформации [ $Ala^2$ ,  $Pro^3$ ]БПП<sub>5</sub> (табл. 1). В потенциальном поле каждой из них строились конформационные карты  $\chi^1—\chi^2$  и  $\chi^3—\chi^4$  остатка Lys<sup>2</sup>, с помощью которых определялись возможные ориентации боковой цепи лизина. Затем проводилась минимизация энергии при варьировании всех двугранных углов  $\varphi$ ,  $\psi$  и  $\chi$  молекулы. Оба способа расчета привели к полностью совпадающим результатам, что еще раз подтверждает независимость конформационного анализа от выбранной схемы расчета [18]. Полученные данные свидетельствуют о чрезвычайно резкой энергетической дифференциации конформационных состояний [ $Pro^3$ ]БПП<sub>5</sub> по форме и шейпу. В широкий интервал 0—8,0 ккал/моль попали структурные варианты лишь двух форм основной цепи (табл. 2).

Как отмечалось выше, структуры типа *feje* являются лучшими по сравнению с другими возможными для молекулы [ $Ala^2$ ,  $Pro^3$ ]БПП<sub>5</sub> вариантами (табл. 1). При замене -Ala<sup>2</sup>- на -Lys<sup>2</sup>- разрыв в энергии возрастает из-за более эффективных в случае *feje* электростатических и дисперсионных взаимодействий боковой цепи лизина с элементами основной цепи. Такое же заключение следует из анализа молекулы БПП<sub>5</sub>, наиболее предпочтительные конформации которой также принадлежат шейпу *feje*. С ними могут конкурировать лишь представители шейпа *fffe*. Однако при замене -Trp<sup>3</sup>- на -Pro<sup>3</sup>-, т. е. при переходе от природного пептида к его аналогу, структурные варианты *fffe* становятся маловероятными. Следовательно, выгодность конформаций типа *feje* в ряду молекул БПП<sub>5</sub>, [ $Ala^2$ ,  $Pro^3$ ]БПП<sub>5</sub> и [ $Pro^3$ ]БПП<sub>5</sub> обусловлена наиболее плотной упаковкой основной цепи и образованием наиболее эффективных стабилизирующих взаимодействий между ее элементами и боковыми цепями. У [ $Pro^3$ ]БПП<sub>5</sub> оба фактора действуют одновременно.

В глобальной конформации [ $Pro^3$ ]БПП<sub>5</sub>, имеющей форму основной цепи *R-B-R-B-R*, алифатическая часть боковой цепи остатка Lys<sup>2</sup> взаимодействует с элементами  $b_3$ ,  $b_4$  участка -Ala<sup>4</sup>-Pro<sup>5</sup>- (-4,8 ккал/моль), а его  $\varepsilon$ -аминогруппа образует сильную ионную пару с COO<sup>-</sup>-группой остатка Pro<sup>5</sup> (-11,8 ккал/моль). У лучшей конформации другой формы (*R-B-B-*

Таблица 3

Относительная энергия (ккал/моль) и геометрические параметры (град) низкоэнергетических конформаций молекулы  $\text{<} \text{Glu}^1\text{-Gln}^2\text{-Phe}^3\text{-Ala}^4\text{-Pro}^5 \text{>}$

Шейп	Форма основной петли	<Glu <sup>1</sup>		Gln <sup>2</sup>			Phe <sup>3</sup>			Ala <sup>4</sup>			Pro <sup>5</sup>		$U_{\text{общ}}$	
		$\Psi$	$\Phi$	$\Psi$	$\chi^1$	$\chi^2$	$\chi^3$	$\Phi$	$\Psi$	$\chi^1$	$\chi^2$	$\Phi$	$\Psi$	$\chi$	$\psi$	
<i>If/e</i>	$R^1\text{-}R^2_{33}\text{-}R^3_{11}\text{-}B^4\text{-}R^5$	-54,4	-99,0	-48,2	-51,0	-60,0	-80,0	-73,7	-33,9	60,0	87,3	-135,4	71,8	56,9	-48,0	0
	$R\text{-}R_{211}\text{-}R_{11}\text{-}B\text{-}R$	-57,5	-97,5	-51,7	180,0	60,0	80,0	-78,7	-23,6	64,0	87,3	-136,4	73,0	57,0	-47,8	0,1
	$R\text{-}R_{334}\text{-}R_{11}\text{-}B\text{-}R$	-53,2	-98,5	-47,8	-64,0	-59,9	99,4	-85,0	-32,7	63,9	87,3	-134,3	72,6	56,9	-48,0	0,7
	$R\text{-}R_{323}\text{-}R_{11}\text{-}B\text{-}R$	-54,9	-99,1	-47,8	-61,4	176,1	-118,4	-83,2	-33,6	64,0	87,6	-134,4	72,3	57,0	-48,0	1,2
	$R\text{-}R_{221}\text{-}R_{11}\text{-}B\text{-}R$	-55,9	-96,1	-47,7	180,0	180,0	100,0	-86,7	-35,3	64,0	87,0	-133,0	70,8	56,9	-48,0	1,4
	$R\text{-}R_{311}\text{-}R_{11}\text{-}B\text{-}R$	-44,0	-76,2	-45,5	-73,5	65,7	41,2	-89,9	-32,4	63,9	87,0	-131,9	75,8	56,8	-48,4	1,5
	$R\text{-}R_{313}\text{-}R_{11}\text{-}B\text{-}R$	-68,7	-84,2	-48,5	-78,3	68,4	-116,6	-85,6	-32,8	64,3	86,7	-136,0	72,7	56,7	-48,0	1,6
<i>fete</i>	$R\text{-}B_{241}\text{-}B_{31}\text{-}L\text{-}R$	-52,8	-96,4	135,2	175,9	58,3	54,1	-138,4	134,0	-58,4	88,5	48,9	63,0	60,4	-47,7	4,1
	$R\text{-}B_{211}\text{-}R_{31}\text{-}B\text{-}R$	-54,7	-97,5	137,6	179,2	58,3	42,7	-142,9	-56,7	-58,1	86,6	-112,5	105,7	57,8	-47,6	4,3

$L-R$ ) того же шейна *fefe* ( $U_{\text{общ}}$  2,8 ккал/моль) энергия аналогичных взаимодействий равна соответственно  $-8,9$  и  $-7,3$  ккал/моль. Хотя суммарный стабилизирующий эффект этих взаимодействий в обеих конформациях при выбранных параметрах приблизительно одинаков, тем не менее, принимая во внимание неравномерные вклады дисперсионных и электростатических контактов, с увеличением полярности среды можно ожидать смещения равновесия  $R-B-R-B-R \rightleftharpoons R-B-B-L-R$  вправо.

<*Glu<sup>1</sup>-Gln<sup>2</sup>-Phe<sup>3</sup>-Ala<sup>4</sup>-Pro<sup>5</sup>*. Анализ этой молекулы позволяет выяснить влияние замены остатка во 2-м положении на энергетическое распределение конформаций и, привлекая данные о физиологической активности,— на ингибирование заряженной ε-аминогруппы природного пентапептида. В табл. 3 представлены результаты расчета. Их сопоставление с данными о БПП<sub>5</sub> (табл. 9 [2]) показывает, что конформационное равновесие и того и другого соединения описывается структурными вариантами типа *fefe* и *fffe*. Однако у [*Gln<sup>2</sup>*]БПП<sub>5</sub> равновесие смещено в сторону конформаций с более свернутой формой основной цепи шейпа *fffe*. Это связано с отсутствием целочисленного заряда у остатка во 2-м положении и, следовательно, с доминирующим вкладом дисперсионных взаимодействий в конформационную энергию. Последние эффективнее (вследствие сближенности N- и C-концов молекулы) по взаимодействиям пирролидонового кольца остатка Pro<sup>5</sup> и пироглутаминового кольца <*Glu<sup>1</sup>*- между собой и с элементами основной цепи. В глобальной конформации  $R-R_{333}R_{11}-B-R$  молекулы [*Gln<sup>2</sup>*]БПП<sub>5</sub> энергия этих взаимодействий равна соответственно  $-1,0$ ,  $-3,2$  и  $-6,2$  ккал/моль. При этом боковая цепь -*Gln<sup>2</sup>*- направлена в сторону растворителя и не образует внутримолекулярных стабилизирующих контактов.

У конформаций [*Gln<sup>2</sup>*]БПП<sub>5</sub> с формами основной цепи  $R-B-B-L-R$  и  $R-B-R-B-R$  шейна *fefe* основной стабилизирующий вклад вносят контакты, образуемые боковой цепью глутамина. Однако они значительно слабее, чем у соответствующих конформаций молекулы БПП<sub>5</sub>, т. е. при наличии -*Lys<sup>2</sup>*. Поскольку у всех низкоэнергетических структур [*Gln<sup>2</sup>*]БПП<sub>5</sub>, природа стабилизирующих сил одинакова, то при наблюдаемом достаточно большом различии конформаций шейпов *fefe* и *fffe* по энталпии трудно ожидать смещения равновесия в сторону вариантов *fefe* при изменении среды.

Сопоставим изложенные в этом сообщении и полученные ранее результаты анализа пространственного строения молекул брадикининпотенцирующих пентапептидов с их способностью ингибировать пептидилдипептидазу и на этой основе попытаемся установить актуальное для данного физиологического процесса конформационное состояние пептидного ингибитора. Очевидно, постановка такой задачи имеет смысл при справедливости предположения о том, что ингибитор эффективно связывается с ферментом в наиболее низкоэнергетической для свободной молекулы конформации. Далее, следует иметь в виду, что выявление физиологически наиболее активной структуры БПП<sub>5</sub> при неизвестном строении рецептора затруднено тем, что в рассматриваемом ряду соединений модификация химического строения, как правило, приводит к изменению конформационных возможностей молекулы и одновременно затрагивает потенциально склонные к специальному взаимодействию с ферментом остатки. Иными словами, замены аминокислот сказываются на характере как внутримолекулярных, так и межмолекулярных взаимодействий. Для строгого учета внутримолекулярных взаимодействий достаточно знать аминокислотную последовательность ингибитора. Количественная оценка межмолекулярных взаимодействий, т. е. конкретная реализация известных конформационных возможностей молекулы, требует также информации о структуре фермента. Не исключен случай, когда наиболее предпочтительная конформация того или иного синтетического аналога БПП<sub>5</sub> стерически комплементарна активному центру пептидилдипептидазы, но прочного комплекса тем не менее с ним не образует, поскольку его последовательность не со-

Таблица 4

## Ингибиторная активность и структура брадикининпептидных пентапептидов

Обозначение	Пентапептид	Ингибиторная активность, $I_{50}$ (мКМ/мл) [5–7]	Основная цепь низкоэнергетических конформаций *	
			Шейп	Форма
БПП <sub>5</sub>	<Glu <sup>1</sup> -Lys <sup>2</sup> -Trp <sup>3</sup> -Ala <sup>4</sup> -Pro <sup>5</sup>	0,05	<i>fef</i> <i>ffe</i>	<i>R-B-B-L-R</i> <i>R-R-R-B-R</i> (2,0)
[Pro <sup>4</sup> ]БПП <sub>5</sub>	<Glu <sup>1</sup> -Lys <sup>2</sup> -Phe <sup>3</sup> -Pro <sup>4</sup> -Pro <sup>5</sup>	1,10	<i>eee</i> <i>fee</i>	<i>R-B-B-B-R</i> <i>R-R-B-B-R</i> (3,5)
[Pro <sup>3</sup> ]БПП <sub>5</sub>	<Glu <sup>1</sup> -Lys <sup>2</sup> -Pro <sup>3</sup> -Ala <sup>4</sup> -Pro <sup>5</sup>	1,10	<i>fe</i> <i>fe</i>	<i>R-B-R-B-R</i> <i>R-B-R-B-R</i> (2,6)
[Ala <sup>2</sup> , Pro <sup>3</sup> ]БПП <sub>5</sub>	<Glu <sup>1</sup> -Ala <sup>2</sup> -Pro <sup>3</sup> -Ala <sup>4</sup> -Pro <sup>5</sup>	31,1	<i>efe</i> <i>eee</i> <i>fee</i>	<i>R-B-R-B-R</i> <i>R-L-B-B-R</i> <i>R-B-B-B-R</i> (2,7) (3,3)
[Gln <sup>2</sup> ]БПП <sub>5</sub>	<Glu <sup>1</sup> -Gln <sup>2</sup> -Phe <sup>3</sup> -Ala <sup>4</sup> -Pro <sup>5</sup>	0,36	<i>ffe</i> <i>fe</i>	<i>R-R-R-B-R</i> <i>R-B-B-L-R</i> (4,1), <i>R-B-R-B-R</i> (4,2)

\* В скобках приведена относительная энергия самой предпочтительной конформации данной формы (ккал/моль).

держит остатки, необходимые для образования эффективных контактов с функциональными группами фермента. Возможна и прямо противоположная ситуация, приводящая к тому же результату. Поэтому, естественно, высказанные ниже соображения об активном для ингибиования конформационном состоянии БПП<sub>5</sub> носят отчасти гипотетический характер.

В табл. 4 приведены данные о пространственной организации исследованных пентапептидов и их способности ингибировать ангиотензинпревращающий фермент ( $I_{50}$ ). Ранее [3] было показано, что причина резкого снижения активности [ $\text{Pro}^4$ ]БПП<sub>5</sub> связана главным образом с изменением конформационных возможностей молекулы. Такое же по эффективности действие оказывает замена остатка  $\text{Tyr}^3$  у БПП<sub>5</sub> на - $\text{Pro}^3$ - (табл. 4). Однако в этом случае причина снижения активности не столь однозначна. У [ $\text{Pro}^3$ ]БПП<sub>5</sub> она может быть обусловлена как внутримолекулярными, так и межмолекулярными факторами или тем и другим одновременно. Первый заключается в том, что из двух альтернирующих структур БПП<sub>5</sub> шейпов *fefe* и *fffe* молекула [ $\text{Pro}^3$ ]БПП<sub>5</sub> способна реализовать структуры лишь одного типа (*fffe*). Это обстоятельство приведет к ослаблению взаимодействий с пептидилдипептидазой при условии, что для ингибиования более актуально состояние *fffe*, чем *fefe*. Второй, внешний фактор будет иметь значение при существенной роли боковой цепи - $\text{Tyr}^3$ - в стабилизации природного фермент-ингибиторного комплекса. На предрасположенность - $\text{Tyr}^3$ - к межмолекулярным взаимодействиям указывает большая конформационная свобода остатка во всех низкоэнергетических структурах молекулы БПП<sub>5</sub> (табл. 7, 8 [2]). Поэтому замещение - $\text{Tyr}^3$ - с его объемной и лабильной боковой цепью на жесткий пролин безусловно должно сказаться на комплексообразующей способности пентапептида даже при близкой геометрии активных форм основной цепи природной и синтетической молекулы.

Практически отсутствует ингибирующая способность у синтетического аналога [ $\text{Ala}^2$ ,  $\text{Pro}^3$ ]БПП<sub>5</sub> ( $I_{50}$  31,1 мкг/мл). Наряду с соображениями, высказанными в отношении [ $\text{Pro}^3$ ]БПП<sub>5</sub>, это объясняется также заменой остатка во 2-м положении. Самые низкоэнергетические конформации молекул [ $\text{Pro}^3$ ]- и [ $\text{Ala}^2$ ,  $\text{Pro}^3$ ]БПП<sub>5</sub> имеют одинаковые формы основных цепей (табл. 1, 2, 4). Следовательно, можно заключить, что дополнительное значительное снижение активности вызвано отсутствием боковой цепи лизина. В свою очередь, это указывает на решающее значение - $\text{Lys}^2$ - в образовании комплекса БПП<sub>5</sub> с конвертирующим ангиотензин ферментом. Какие при этом взаимодействия наиболее важны — дисперсионные ли контакты алифатической части боковой цепи - $\text{Lys}^2$ - с гидрофобным участком активного центра или образование ее  $\epsilon$ -аминогруппой ионной пары с противоположно заряженной группой рецептора? Отметим, что и то и другое межмолекулярное взаимодействие в большей степени должно дестабилизировать структуру пентапептида шейпа *fefe* из-за более значительных вкладов в ее конформационную энергию по сравнению со структурой *fffe* электростатических и дисперсионных внутримолекулярных контактов боковой цепи лизина.

Замена остатка  $\text{Lys}^2$  на глутамин незначительно сказывается на ингибирующей способности соединения (табл. 4). Следовательно, наличие межмолекулярной ионной пары с участием  $\epsilon$ -аминогруппы лизина не является необходимым для образования устойчивого фермент-ингибиторного комплекса; для стабильности последнего более важны дисперсионные взаимодействия боковой цепи остатка во втором положении. В этом отношении различие остатков  $\text{Lys}^2$  и  $\text{Gln}^2$  не так значительно, как в отношении их полярных свойств. Ослабление электростатических взаимодействий повлияло на внутримолекулярные конформационные свойства [ $\text{Gln}^2$ ]БПП<sub>5</sub>. Доминирующую предпочтительность у пентапептида приобрели конформации со свернутой формой основной цепи *R-R-R-B-R* (*fffe*) (табл. 3, 4), которые у природного пентапептида уступали конформациям типа *fefe*.

вследствие менее эффективных электростатических взаимодействий (табл. 8 [2]). Результаты расчета дают основание полагать, что у БПП<sub>5</sub> конформационное равновесие подвижно, смещаясь в сторону *R-B-B-L-R* (*R-B-R-B-R*) или *R-R-R-B-R* при изменении полярности окружения. У  $[Cln^2]$ БПП<sub>5</sub> в связи с ослаблением электростатических взаимодействий и одинакового характера влияния внешних условий на стабильность структурных вариантов тех же типов положение равновесия более консервативно и, по-видимому, всегда смещено в сторону *R-R-R-B-R* (*ffje*).

## ЛИТЕРАТУРА

- Севастьянова Н. Н., Попов Е. М. Теоретический конформационный анализ брадикининпептирующих пептидов. VI. Подвижность основных и боковых цепей низкоэнергетических конформаций БПП<sub>5</sub> и Pro<sup>4</sup>-БПП<sub>5</sub>.— Биоорган. химия, 1981, т. 7, № 2, с. 189–198.
- Севастьянова Н. Н., Попов Е. М. Теоретический конформационный анализ брадикининпептирующих пептидов. III.  $\langle$ Glu-Lys-Trp-Ala-Pro $\rangle$ .— Биоорган. химия, 1978, т. 4, № 8, с. 997–1016.
- Севастьянова Н. Н., Попов Е. М. Теоретический конформационный анализ брадикининпептирующих пептидов. IV.  $\langle$ Glu-Lys-Phe-Pro-Pro $\rangle$ .— Биоорган. химия, 1979, т. 5, № 1, с. 11–23.
- Sebastijanova N. N., Popov E. M. The spatial structures of several bradykininpotentiating peptides.— J. Mol. Struct., v. 65, p. 125–140.
- Ondetti M. A., Williams N. J., Sabo E. F., Pluscsec J., Weaver E. R., Kocy O. Inhibition of angiotensin-converting enzyme by analogs of peptides from *Bothrops jararaca* venom.— in: Progress in Peptide Research. Gordon and Breach. New York: 1972, p. 251.
- Chusman D. W., Pluscsec J., Williams N. J., Weaver E. R., Sabo E. F., Kocy O., Cheung H. S., Ondetti M. A. Inhibition of angiotensinconverting enzyme by analogs of peptides from *Bothrops jararaca* venom.— Experientia, 1973, v. 29, p. 1032–1035.
- Ferreira S. H., Bartelt D. C., Greene L. J. Isolation of bradikininpotentiating peptides from *Bothrops jararaca* venom.— Biochemistry, v. 9, № 3, p. 2583–2594.
- Scheraga H. A Calculations of conformations of polypeptides.— Adv. phys. org. Chem., v. 6, № 1, p. 103–184.
- Липкинд Г. М., Архипова С. Ф., Попов Е. М. Теоретическое исследование конформаций метиламида N-ацетил-L-фенилаланина.— Изв. АН СССР. Сер. хим., 1970, № 2, с. 315–324.
- Архипова С. Ф., Севастьянова Н. Н., Липкинд Г. М., Попов Е. М. Теоретический конформационный анализ брадикининпептирующего пептида  $\langle$ Glu-Trp-Pro-Arg-Pro-Gln-Ile-Pro-Pro $\rangle$ . I.— Биоорган. химия, 1977, т. 3, № 3, с. 335–347.
- Belle J., Montagut M., Bellonq A. M. Analyse conformationnelle de l'hormone hypothalamique TRF de libération de la thyréostimuline.— C. R. Acad. Sci., Ser. C, 1972, v. 275, № 8, p. 472–476.
- Липкинд Г. М., Архипова С. Ф., Попов Е. М. Теоретическое исследование конформаций метиламида N-ацетил-L-аланина в различных средах.— Ж. структур. химии, 1970, т. 11, № 1, с. 121–126.
- Жоров Б. С., Попов Е. М., Говырин В. А. Теоретический конформационный анализ метиламида N-ацетил-L-лизина.— Молекулярия. биология, 1975, т. 9, № 3, с. 415–425.
- Плетнев В. З., Громов Э. П., Попов Е. М. Теоретический конформационный анализ метиламидов N-ацетил-L-аланил-L-пролина и N-ацетил-L-пролил-L-аланина.— Химия природн. соедин., 1975, № 5, с. 618–626.
- Липкинд Г. М., Архипова С. Ф., Будковская В. Н., Попов Е. М. Теоретический конформационный анализ метиламидов N-ацетил-L-глутаминовой кислоты и N-ацетил-L-глутамина.— Молекулярия. биология, 1974, № 6, с. 902–912.
- IUPAC—IUB Commission on biochemical nomenclature. Abbreviations and symbols for the description of the conformation of polypeptide chains.— Biochem. J., 1971, v. 121, № 4, p. 577–585.
- Громов Э. П., Плетнев В. З., Попов Е. М. Теоретический конформационный анализ метиламида N-ацетил-L-аланил-L-пролил-L-аланина.— Химия природн. соедин., 1975, № 5, с. 626–630.
- Севастьянова Н. Н., Попов Е. М. Теоретический конформационный анализ брадикининпептирующих пептидов. V.  $\langle$ Glu-Asn-Trp-Pro-Arg-Pro-Gln-Ile-Pro-Pro $\rangle$ .— Биоорган. химия, 1980, т. 6, № 4, с. 547–562.

Поступила в редакцию  
9.IX.1980

THEORETICAL CONFORMATIONAL ANALYSIS  
OF BRADYKININ-POTENTIATING PEPTIDES.  
VII. SYNTHETIC ANALOGS

SEVASTIJANOVA N. N., POPOV E. M.

*M. M. Shemyakin Institute of Bioorganic Chemistry, Academy  
of Sciences of the USSR, Moscow*

Spatial structure of  $\langle$ Glu-Ala-Pro-Ala-Pro,  $\langle$ Glu-Lys-Pro-Ala-Pro and  $\langle$ Glu-Gln-Phe-Ala-Pro, synthetic analogs of the bradykinin-potentiating peptide, has been investigated by the semi-empirical method of atom-atom potentials. A comparison of conformational possibilities for the natural compound and its analogs with the experimental data on biological activity selects from the low-energy conformations the structure with the most compact packing of the backbone as the most preferable for the inhibition of the angiotensin-converting enzyme.

---